

الإحصاء المكاني في تقدير التلوث البيئي

البياتي، جعفر موسى

قاسم، محمد نذير إسماعيل(مشرف)

2004

الموصل

1 - 48

558170

رسائل جامعية

Arabic

رسالة ماجستير

جامعة الموصل

كلية التربية

العراق

Dissertations

الأحصاء ، تلوث البيئة، الدوال الرياضية ، المعادلات الرياضية

<http://search.mandumah.com/Record/558170>

العنوان:

المؤلف الرئيسي:

مؤلفين آخرين:

التاريخ الميلادي:

موقع:

الصفحات:

رقم MD

نوع المحتوى:

اللغة:

الدرجة العلمية:

الجامعة:

الكلية:

الدولة:

قواعد المعلومات:

مواضيع:

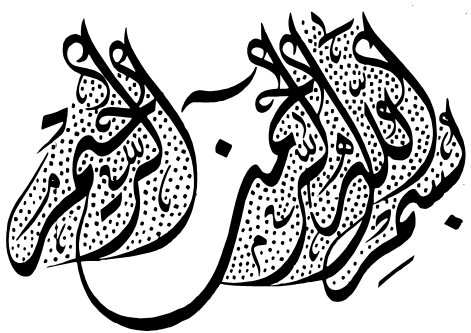
رابط:

الإحصاء المكاني في تقدير التلوث البيئي

مقدمة إلى
مجلس كلية التربية في جامعة الموصل وهي جزء من
متطلبات نيل شهادة الماجستير
في اختصاص الرياضيات

من قبل
جعفر موسى محمد البياتي

بasherاف
الأستاذ المساعد
الدكتور محمد نذير إسماعيل قاسم



((وَالْعَصْرُ (١) إِنَّ الْإِنْسَانَ
لَفِي خُسْرٍ (٢) إِلَّا الَّذِينَ آمَنُوا
وَعَمِلُوا الصَّالِحَاتِ وَتَوَاصَوْا بِالْحَقِّ وَتَوَاصَوْا
بِالصَّابَرِ (٣))

صدق الله العلي

العظيم

سورة العصر

شكراً وتقدير

الحمد والشكر لله رب العالمين رب العزة سبحانه وتعالى اولاً واخراً
والصلوة والسلام على سيدنا ومعلم البشرية محمد صلى الله عليه وآله الطاهرين .
ان واجب التقدير والعرفان بالجميل يدعوني الى ان اقدم جزيل امتناني
واحترامي كلية التربية ولجميع الجهود التي ساهمت في اعداد هذا البحث .
كما أتقدم بالشكر والتقدير لرئيسة قسم الرياضيات في كلية التربية لما
قدموه لي من تسهيل مهمتي في إنجاز هذا البحث .
ومن منبع تلك الجهود يبدو جلياً دور الاستاذ المساعد الفاضل الدكتور
محمد نذير اسماعيل قاسم في اثراء الرسالة واظهارها باسلوب البحث العلمي
الرصين فله جزيل الشكر والاحترام .
كما اقدم جزيل شكري وتقديري الى الاصدقاء : احسان علي سعدون
وعلي خضير وصهيب عبد الجبار لما قدموه لي من مساعدة لاكمال هذه الرسالة .
وادعو بالتوفيق الى كل من ساهم في انجاح هذا البحث .

جعفر

قائمة المحتويات

| رقم الصفحة | الموضوع |
|------------|--|
| II | قائمة الجداول |
| II | قائمة الأشكال |
| II | قائمة الخرائط |
| III | قائمة الرموز |
| ٨-١ | الفصل الاول : المقدمة |
| ٢ | ١.١ الاحصاء المكاني في علم البيئة |
| ٤ | ١.٢ المفاهيم الاساسية |
| ٦ | ١.٣ منهجية الطرق الرياضية |
| ٨ | ١.٤ هدف البحث |
| ٢٦-٩ | الفصل الثاني : الجانب النظري |
| ٩ | ٢.١ المقدمة |
| ٩ | ٢.٢ المتغيرات العشوائية المكانية |
| ١٠ | ٢.٣ خواص المتغيرات العشوائية المكانية |
| ١٠ | ٢.٣.١ العزوم |
| ١٢ | ٢.٣.٢ المرحلية (السكون) |
| ١٢ | ٢.٤ دالة الفايروكرام و خواص المتغيرات العشوائية المكانية |
| ١٥ | ٢.٥ الفرضية الاساسية للمتغير المكاني |
| ١٦ | ٢.٦ نماذج دالتى التغاير و شبه الفايروكرام |
| ١٧ | ٢.٧ طرائق التنبؤ |
| ١٧ | ٢.٧.١ التنبؤ الابتدائي |
| ٢١ | ٢.٧.٢ التنبؤ بنقطة |
| ٢٤ | ٢.٧.٣ تنبؤ كريك بدالة الفايروكرام |
| ٤٢-٤٧ | الفصل الثالث : الجانب التطبيقي |
| ٤٣ | الاستنتاجات والتوصيات |
| ٤٨-٤٤ | المصادر |
| | الملاحق |

قائمة الجداول

| المحتوى | رقم الجدول |
|---|------------|
| نماذج دوال الفايروكرام | (١) |
| تراكيز غبار الرصاص في موقع مدينة الموصل ولأربعة فصول | (٢) |
| تراكيز غبار الرصاص في المدينة لفصل الخريف مع إحداثياتها | (٣) |
| نتائج دالة شبه الفايروكرام | (٤) |
| الموقع المطلوب التنبؤ عنها | (٥) |
| النتائج الحسابية | (٦) |

قائمة الأشكال

| المحتوى | رقم الشكل |
|--|-----------|
| العلاقة بين دالة الفايروكرام ودالة التغایر | (١) |
| ظاهرة Nugget effect | (٢) |
| متغير x_0 في الموقع $z(x_0)$ | (٣) |
| الرسم البياني لدالة شبه الفايروكرام | (٤) |
| منحني لدالة شبه الفايروكرام | (٥) |
| دالتا التغایر وشبه الفايروكرام | (٦) |
| دالة التغایر $c(h)$ | (٧) |

قائمة الخرائط

| المحتوى | رقم الخارطة |
|--|-------------|
| موقع الاحياء التي تم جمع عينات الغبار منها في مدينة الموصل | (١) |
| تبين كيفية قياس دالة شبه الفايروكرام | (٢) |
| موقع مطلوب التنبؤ عنها | (٣) |

قائمة الرموز

| The term | الرمز | المصطلح |
|----------------------------|----------------------|-----------------------------------|
| Regionalized variable | $z(x)$ | المتغير المكاني في الموقع x |
| Autocovariance function | $\sigma(h)$ | دالة التغاير الذاتي |
| Variogram function | $2\gamma(h)$ | دالة الفايروكرام |
| Semivariogram function | $\gamma(h)$ | دالة شبه الفايروكرام |
| Weight in linear estimator | λ_i | الوزن في المخمن (مقدر) الخطي |
| Stochastic process | $\{z(x)\}$ | العملية العشوائية |
| Covariance matrix | Σ | مصفوفة التغاير |
| Lagrange multiplier | g, b | مضاعف لاكرانج |
| Euclidian distance vector | h | متجه المسافة الأقليدية |
| Kriging estimator variance | $\sigma^2 \hat{z}_0$ | تباين مقدر كرياك |
| Kriging variance | σ^2_K | تباين كرياك |
| Variance | σ_{ii} | التباين |
| Estimator | $\hat{z}(x_0)$ | مقدر |
| Mean squared error | MSE | متوسط مربع الخطأ |
| Local estimator | $\bar{z}(x)$ | مقدر موضعي |
| Local estimator variance | σ^2_{LE} | التباين في التقدير الموضعي |

تتناول هذه الرسالة عملية التنبؤ عن موقع عشوائية غير مقاسة إعتماداً على المتغيرات العشوائية المكانية Regionalized variables المقاسة ، وذلك باستخدام أسلوب كريك المعروف بـ kriging نسبة إلى D. G. krige ويتمثل هذا الاسلوب بدالة الفايروكرام variogram function أو دالة التغایر الذاتي Autocovariance function . وقد تطور الإحصاء المكاني spatial statistics على يد علماء منهم Matheron (1975) , Journel and Huijbregts (1978), Myers (1985), Stein (1987), Cressie (1991). وان دراسات الاحصاء المكاني في تطور مستمر وذلك لأهمية هذه الحقل من علم الإحصاء .

تتضمن هذه الرسالة ثلاثة فصول : قدم الفصل الأول نبذة تاريخية عن هذا الحقل لمعرفة أبرز العلماء الذين كان لهم دور في تطويره ، ثم ننتقل إلى إعطاء عدد من المفاهيم الأساسية عن طبيعة الإحصاء المكاني وبعدها تطرقنا إلى المنهجية الرياضية المتمثلة بثلاث خطوات أساسية لإجراء عملية التنبؤ وكذلك يحتوي الفصل على تعریف دالة الفايروكرام semivariogram function ودالة شبه الفايروكرام variogram function .

أما الفصل الثاني فهو العمود الفقري لهذه الرسالة ونستعرض فيه طبيعة المتغيرات العشوائية المكانية وخصائصها وكذلك بينا العلاقة بين خواص المتغيرات العشوائية المكانية ودالة الفايروكرام ، كما يحتوي الفصل الثاني على بعض النماذج لدالة الفايروكرام اذ أن هناك عدة نماذج ولها تسميات مختلفة منها الكروي ، والأسي والخطي والكاوسبيان وديفيزيين De wijsion .

الفصل الأول

وقد ذكرنا في هذا الفصل أيضاً طرائق التنبؤ ومبرهنات خاصة بها اذ أن هناك ثلاث طرائق لعملية التنبؤ منها التنبؤ الإبتدائي والتنبؤ بالنقطة والتنبؤ بدالة دالة الفايروكرام وكذلك بينما كيفية قياس التقديرات الكلية وكذلك التباين الكلي أو الإجمالي ومن خلال هذه القياسات وجدها فترة الثقة لكمية التلوث ضمن حدود معينة التي هي بمعامل ثقة ٩٥% .

والفصل الثالث والأخير فيه جانب تطبيقي للدراسة النظرية المذكورة في الفصل الثاني . فقد طبقت الدراسة العملية على بيانات مكانية حقيقة في جانب تلوث الهواء لمدينة الموصل وكذلك تم حساب دالة شبه الفايروكرام ثم الوصول إلى أفضل نموذج تغایر ملائم للبيانات المتوفرة لدينا ثم عرضنا كيفية تطبيق أسلوب كريك حتى حصلنا على تقدير معلمة لنموذج التغایر المقترن وبعدها وجدها التقدير الكلي لمقدار التلوث في مدينة الموصل وكذلك حدود الثقة لهذا المقدار .

تمت الحسابات بكتابة برامج متكاملة بلغة Matlab .

١.١ الإحصاء المكاني في علم البيئة

يتعلق الإحصاء المكاني بمجموعة من المفاهيم الإحصائية الرياضية لوصف إرتباط المتغيرات المكانية الموزعة عشوائياً .

وأن أساسيات علم الإحصاء المكاني تطورت من قبل Krige, Sichel, and De weijns من خمسينات القرن العشرين لتقدير الاحتياطي من خامات الذهب في جنوب أفريقيا Matheron (1977) وقدم Henley (1981), Clark(1979), David (1971) هذا العمل التجريبي الكبير قادته النظرية في نظرية المتغيرات الموقعة . Regionalized variables theory

وأستخدمت أساليب تطبيق الإحصاء المكاني في علوم الأرض وأصبحت تسمى بالإحصاء الجيولوجي وهو أداة إحصائية فعالة أستخدمت لتحليل بيانات

الفصل الأول

تراكيز التلوث في مياه الجداول والأنهار والمياه الجوفية وال المجالات الجوية في تلوث الهواء وعلى نحو عام التلوث البيئي Pollution سواء كان فوق أو تحت سطح الأرض . انظر Steven and Cressie (1996)

إن السبب الأساسي في إستخدام أساليب الإحصاء الجيولوجي هو كونها تتضمن تقنيات التقدير المبنية على نظرية المتغيرات المكانية التي من الممكن إستخدامها للحصول على أفضل تقدير خطى (اذ أن خطأ التقدير يكون أصغر ما يمكن) وأن تراكيز التلوث المقدرة معطاة بشكل ترابط خطى لتراكيز المشاهدة ومن خلال هذا التقدير وبحساب مقدار الخطأ فيه ، يمكن وضع البرامج الإختبارية ذات الفعالية لعلاج التلوث وإجراء تنبؤ أمثل لإستخلاص الملوثات وكميتها الموجودة في الجو أو في باطن الأرض . لقد بحث الكثير من العلماء تطبيقات الإحصاء المكاني لوصف التوزيع المكاني للملوثات في الهواء وفي التربة فقد أستخدم Barnes (1978) تقنية التقدير المستخدمة في الإحصاء الجيولوجي والمعروفة بالاسم Kriging لرسم توزيع أربعة نظائر مشعة موجودة في منطقة إختبارات الأسلحة النووية .

وواكب Barnes (1980) اخرون التحليل نفسه لستة نظائر المشعة في إختبار موقع أسلحة مشعة (Enewetak Atoll) وأستخدم Myers and Bryan (1984) أسلوب Kriging لرسم تراكيز الرصاص بالقرب من مواقعين لصهر الرصاص وكانا قادرين على استخدام تلك الخرائط لتعيين مصادر تلوث بمادة رصاص وتشخيص المساحات الملوثة بهذه المادة . كما قام Harris and Zirschky (1986) بإستخدام Kriging لتحليل توزيع رواسب التلوث بمادة الدايوكسين .

وهناك بحوث خاصة بتطبيق الإحصاء المكاني لوصف التوزيع المكاني لملوثات المياه الجوفية الواقعة بالقرب من موقع رمي النفايات فقد قام كل من Moor and McLaughlin (1980) برسم التلوث بمناطق التلوث بتراكيز مادة الرويثينوم وهي مادة سامة تتواجد في المياه الجوفية التي تقع بالقرب من مواقع

نهايات . وتفيد التقارير من خلال البحوث الاحصاء المكانى بأن دراسات الجيو الإحصائية المطبقة على مشاكل تلوث البيئة لم يتم تطويرها إلى الحد الذى يطمح إليه العلماء على الرغم من أن القواعد النظرية المنهجية لهذا العلم قد تم وصفها في بحوث الإحصاء المكانى على نحو كامل وهذه البحوث يتذرع لغير الإختصاصيين بلوغها أحياناً . سنبداً بنبذة مختصرة من العناصر الأساسية لنظرية الإحصاء المكانى المتعلقة بالجيولوجيا ثم نقدم خطوات تطبيق هذه النظرية على مشاكل تلوث البيئة .

Basic Concepts

١.٢ المفاهيم الأساسية

١- اعتبر D مجالاً أو منطقة للمتغير العشوائى $z(x) \in D \in R^P$ ، حيث $P = 2$ أو 3 او يمكن قياس هذا المتغير على عينة حجمها n من الواقع وهذه القياسات يرمز لها بالمتغير $z(x)$ وقيمته :

$$z(x_1), z(x_2), \dots, z(x_n)$$

وكل (x_i) تمثل قيمة التلوث في الموقع x_i

٢- وبسبب توزيع هذه القياسات في الفضاء فإن (x_i) $z(x_i)$ تدعى بالمتغير الموقعي في الإحصاء الجيولوجي التحليلي . Regionalized variable

٣- المتغير الموقعي (x) $z(x)$ يعد مشاهدة مفردة (وإن مشاهدة مفردة من القياسات هي $[z(x_1), z(x_2), \dots, z(x_n)]$ للعملية العشوائية $\{z(x), x \in D\}$.

أحد أهداف الإحصاء الجيولوجي التحليلي هو تقدير تلوث في موقع غير مقاسة في المنطقة D .

لأي نقطة x_0 غير مقاسة في المنطقة D أفضل مقدر للمتغير الموقعي $z(x_0)$ عند الموقع x_0 الذي يعطى بالتوقع الشرطي .

$$E[z(x_0) | z(x_1), z(x_2), \dots, z(x_n)] \quad (1.1)$$

اذ أن x_1, x_2, \dots, x_n يمثل مواقع لقياسات المشاهدات $. z(x_1), z(x_2), \dots, z(x_n)$ لحساب التوقع الشرطي يتطلب معرفة التوزيع الإحتمالي لـ $(n+1)$ من المتغير

الفصل الأول

العشوائي (x) وبما أن إستدلال التوزيع الإحتمالي المشترك غير ممكн عند مشاهدة واحدة one realization فقط ، نحتاج اذن مقدراً يتوفّر فيه تحليل من الإفتراضات وعادة يكون كافيا في هذه الحالة فئة من المقدرات خطية .
انظر (1975), Olea (1976).

المقدارات الخطية تتطلب فقط معرفة العزم الأول والثاني (الوسط والتباين) للتوزيع الإحتمالي للمتغير (x) ويكون من الممكن الحصول على هذه العزوم إذا أفترضنا خاصية المرحلية أو السكونية stationarity في المنطقة D في هذه الحالة تعد القياسات عند نقطتين مختلفتين (x_i) و (x_{i+h}) مشاهدين مترابطين للمتغير العشوائي (x) يفصل بينهما مسافة h ويمكن استخدام هاتين القيمتين لتقدير العزمين الأول والثاني للمتغير الموقعي (x).
إن إجراءات إستخدام المقدارات الخطية وفرضيات السكون تشير إلى الإحصاء المكاني الخطى .

والإحصاء المكاني الخطى يستخدم في تقديرات معظم مشاكل التلوث .
انظر (1991) Cerssie ومن الضروري الاشارة إلى أن الإحصاء الجيولوجي الخطى الذي يتطلب إفتراضات فيأخذ المشاهدات بأن تكون العينات بنفس الحجم والشكل وكذلك ان تكون صغيرة نسبياً قياساً إلى الموضع التي تؤخذ منها العينة وهذا ما يسمى Point support وهي مهمة لمعظم مخططات المعاينة التي تستخدم في تقدير التلوث . انظر Journel and Huijbregts (1978), David (1977) .

١.٣ منهجة الطرق الرياضية

يجري تقدير التلوث في المجال (المنطقة) D على ثلات خطوات:
. Istok and cooper (1988)

الفصل الأول

الخطوة الأولى : كون تراكيز التلوث المقاسة تجميعية Additive وموزعة توزيعاً طبيعياً ومن الممكن إجراء تحويلات مناسبة ان لم تكن تتوزع توزيعاً طبيعياً مثل التوزيع اللوغاريتمي الطبيعي الذي يحسن ملائمة البيانات للتوزيع الطبيعي .

الخطوة الثانية : هي تقدير الإرتباط المكاني لأزواج التراكيز المقاسة كدالة المسافة وللإتجاه وهذا ما يسمى بحساب شبه دالة الفايروكرام التجريبي Empirical semivariogram . (انظر الفصل الثاني)

والخطوة الثالثة : تسمى التحليل البنوي وهي مطابقة نموذج نظري لشبه الدالة الفايروكرام التجريبي وسوف نقوم بإعادة كتابة هذه الخطوات على نحو رياضي أكثر تفصيلاً . وكما يأتي :

الخطوة الأولى : الخاصية التجميعية التي تتطلب كون المتغير المكاني تجميعياً أي أن تشکيلة الخطية Linear combinations لقيم المتغير الموقعي لها نفس المعنى . انظر (Journel and Huijbregts 1978)

وفي تطبيقات المياه الجوفية والتلوث يعني هذا أن التراكيز التي يعبر عنها في وحدات كتلة (وزن أو حجم) للمحلول في وحدة الحجم من السائل أو التربة هي التي تستخدم وهذا ما يتفق مع دراستنا في هذا البحث ويجب مراعاة خطوات تحليل في حالة دراسات بعدين (في المستوى) أو ثلاثة أبعاد (في الفراغ) .

والمطلب الثاني للإحصاء الجيولوجي كون المتغير يتوزع توزيعاً طبيعياً على الرغم من أن تقنيات الإحصاء الجيولوجي درست أو طبقت في حالات كون التوزيع الإحتمالي الموقعي يكون مبتعداً عن التوزيع الطبيعي ، انظر Cressie (1980) and Hawkins (1984) مناسب أو بحذف قياسات خاطئة من البيانات ، انظر Armstrong (1984) وهناك طرق كثيرة لاختبار التوزيع الطبيعي للبيانات مثل احصائية مربع كاي . انظر Henley (1981) وطريقة Smirnov Kolmogorov وغيرها من الطرق المتواجدة في كتب الإحصاء الرياضي ، وفي حالات كثيرة يستخدم

الفصل الأول

التحويل اللوغاريتمي لملاءمة المتغير الموقعي للتوزيع الطبيعي مثلاً يستخدم التحويل التالي :

$$Y(x) = \log[z(x) + A] \quad (1.2)$$

اذ ان $Y(x)$ اللوغاريتمي طبيعي المحول ، $z(x)$ المتغير للبيانات الأصلية ، A ثابت حقيقي يضاف إلى $z(x)$ لتحسين ملاءمة البيانات للتوزيع الطبيعي اللوغاريتمي. انظر Cressie (1993).

الخطوة الثانية : حساب دالة شبه الفايروكرام التجربى :- (انظر الفصل الثاني)

الخطوة الثالثة : التنبؤ عن العملية العشوائية .

إن التنبؤ عن العملية العشوائية يكون بإستخدام نموذج التنبؤ الخطى

$$\hat{z}(x_0) = \sum_{i=1}^n \lambda_i z(x_i) \quad (1.3)$$

اذ يتم تقدير الأوزان λ_i بحيث أن متوسط مربع الخطأ MSE يكون أصغر ما يمكن

$$\frac{1}{n} \sum_{i=1}^n (\hat{z}(x_i) - z(x_i))^2 = \text{minimum} \quad (1.4)$$

وكلقاعدة عملية يجب أن يكون

$$MSE < S^2 \quad (1.5)$$

اذ أن S^2 تباين قيم العينة ، إذا كان MSE أقل من تباين العينة فإن مقدار التنبؤ Kriging سيكون أفضل .

١.٤ هدف البحث

أن هدف البحث هو التقدير الإجمالي لغبار الرصاص المتواجد في مدينة الموصل، وذلك من خلال حساب دالة شبه الفايروكرام بطريقة اختيار موقع مركزي إلى حد ما على الخارطة، ومن ثم تطبيق اسلوب Kriging على مناطق غير مقاسة، فضلاً عن ذلك تم تحديد تباين التقدير مع حساب حدود النسبة لتقدير

الفصل الثامن

الاجمالي كما يتم ايضاً حساب التباين الحاصل في التنبؤ الذي يعرف بتباين σ_k^2 والذي يرمز له Kriging.

٢.١ المقدمة :

الاحصاء المكاني يدرس المتغيرات المكانية التي نحصل عليها من الظواهر المكانية التي تشمل الخامات المعدنية (كالذهب ، النحاس ، النفط ... الخ) أو المياه الجوفية او المياه الطبيعية او تلوثات البيئة ، والأخير هو هدفنا في هذا البحث . تقدير او تنبؤ عن تقدير التلوث الموجود في مدينة الموصل من تركيز مادة الرصاص الموجود في الغبار .

ان مهمة الباحثين في مجال الاحصاء المكاني هي التعرف على البنية او الهيكل Autocovariance لنموذج دالة التغير الذاتي (المكاني) او دالة الارتباط الذاتي (المكاني) Autocorrelation function الموجودة بين المشاهدات الواقعية ضمن حقل ما من تلوث او مياه الجوفية او معادن او غيرها وقد اصبح من الممكن صياغة نماذج رياضية لبنية التغير لاستخدامها على افضل واحسن تتبؤ عن الظاهرة قيد دراسة اذ وجد مقياس اخر للتغير يعتمد على دراسة تباين الفروقات كما ذكرنا سابقا وهي دالة الفايروكرام التي تعتمد عليها في الدرجة الاساس المتبع الخطى (x) .

٢.٢ المتغيرات العشوائية المكانية

نفرض ان $D \subset R^P$ منطقة او مجال يمثل مجموعة جزئية من فضاء اقلidis ذي البعد الواحد $P=1$ او البعدين $P=2$ او الثلاثة ابعاد $P=3$ وافرض ان $z(x)$ تمثل مشاهدة عشوائية في الموقع x في المنطقة D اذ ان $z(x) \in D \subset R^P$ ، $x \in D \subset R^P$ يمثل المتغير العشوائي من العملية التصادفية $\{ z(x), x \in D \}$ وعند الحصول على عينة حجمها n من المشاهدات ستكون مماثلة بالمشاهدة $z(x_1), z(x_2), \dots, z(x_n)$ وهذه المشاهدة تدعى عينة الدالة للعملية التصادفية $\{ z(x), x \in D \}$ فيكون لدينا المشاهدة $z(x_1), z(x_2), \dots, z(x_n)$ في المواقع x_1, x_2, \dots, x_n على التوالي و $x_i = (u_i, v_i, w_i)$ اذا كان $x_i = (u_i, v_i)$ اذا كان x_i ذات ثلاثة ابعاد .

٢.٣ خواص المتغيرات العشوائية المكانية

Properties of Regionalized variables

Moments

٢.٣.١ العزوم

لتكن $z(x_i)$ مشاهدات عند الموضع x_i , $i = 1, 2, \dots, n$ فالمتغير

العشوائي $z(x)$ يفترض العزم الاول والثاني وكما يأتي انظر Cressie (1986) :

أ- العزم الأول من الرتبة الاولى (التوقع الرياضي) :

ليكن $z(x)$ متغيراً مكانياً في الموقع x و اذا كان التوزيع الاحتمالي لـ

$z(x)$ له توقع فانه يعرف كما يأتي :

$$E\{z(x)\} = \mu, \quad \forall x \in D \quad (2.1)$$

ب- العزم من الرتبة الثانية يشمل :

١- التباين Variance

عبارة عن دالة بدلالة x حول التوقع μ للمتغير المكانى $z(x)$ أي بمعنى :

$$\text{var}\{z(x)\} = E\{[z(x) - \mu]^2\}, \quad \forall x \in D \quad (2.2)$$

٢- التغاير Covariance

ليكن $z(x), z(x+h)$ متغيرين مكانيين في موقعين $x, x+h$ على التوالي

فعندهما تغاير وكما يأتي :

$$\text{cov}(z(x), z(x+h)) = E\{[z(x) - \mu][z(x+h) - \mu]\} = c(h), \quad \forall x \in D \quad (2.3)$$

Variogram Function

٣- دالة الفايروكرام

اقتراح Mathron (1975) دالة شبه الفايروكرام بازاحة h كما في الصيغة

$$\gamma(h) = \frac{1}{2} \frac{1}{n(h)} \sum_{i=1}^{n(h)} (z(x_i) - z(x_{i+h}))^2 \quad (2.4)$$

الفصل الثاني

وهي متوسط مربع الاختلافات الموجودة بين المشاهدات المكانية التي تبعد عن بعضها البعض إزاحة h ، اذ ان $n(h)$ تمثل عدد أزواج المشاهدات التي تفصل (x_i) و (x_{i+h}) بينها إزاحة h . انظر Steven and Cressie (1996) . تسمى المعادلة (2.4) دالة شبه الفايروكرام بسبب وجود $\frac{1}{2}$ في الطرف الأيمن من المعادلة. أما إذا كتبت بالشكل :

$$2\gamma(h) = \frac{1}{n(h)} \sum_{i=1}^{n(h)} (z(x_i) - z(x_{i+h}))^2 \quad (2.5)$$

فإنها تسمى دالة الفايروكرام .

ودالة الفايروكرام عبارة عن دالة تمثل درجة إستمرارية الظاهرة (معدن ، مياه جوفية ، تلوثات جوية ... الخ) من الظواهر التي تحدث عادة في الإحصاء المكاني انظر Mohammed and Qassim (1997) . السبب في دراسة دالة الفايروكرام هو ان الصيغة الرياضية لها تمثل تباين الفروقات بين المشاهدات المكانية التي تبعد عن بعضها البعض إزاحة h ، وهذا هو ما يدرس عادة في التقصي عن العمليات العشوائية اذ يستطيع دراسة الفروقات والحصول على معلومات عن العملية العشوائية على نحو أفضل .

وسوف نتناول في الفصل القادم تفاصيل رياضية من هذه الدالة وما هي علاقتها في التباين covariance والتغير variance .

Stationarity

٢.٣.٢ المرحلية (السكون)

اذا كان التوزيع الاحتمالي المشتركة للمتغيرات العشوائية المكانية $z(x_i)$ هو نفس التوزيع الاحتمالي المشتركة للمتغيرات $z(x_{i+h})$ فعندها يقال بان العملية وكل x_i حيث $i = 1, 2, \dots, n$

الفصل الثاني

العشوائية $\{z(x), x \in D\}$ مرحليه بصرامة Strictly stationarity ويقال بان العملية العشوائية الاخيرة مرحليه من الرتبة الثانية Second Order إذا كان :

أ- العزم من الرتبة الاولى (التوقع الرياضي) :

$$E\{z(x)\} = \mu, \quad \forall x \in D \quad (2.6)$$

موجود ولا يعتمد على موقع x

ب- العزم من الرتبة الثانية (التغاير) :

$$\text{cov}(z(x), z(x+h)) = E\{z(x), z(x+h)\} - \mu^2 = \sigma^2(h) \quad (2.7)$$

موجود ويعتمد على h فقط ، حيث ان h هي مسافة بين $z(x+h), z(x)$

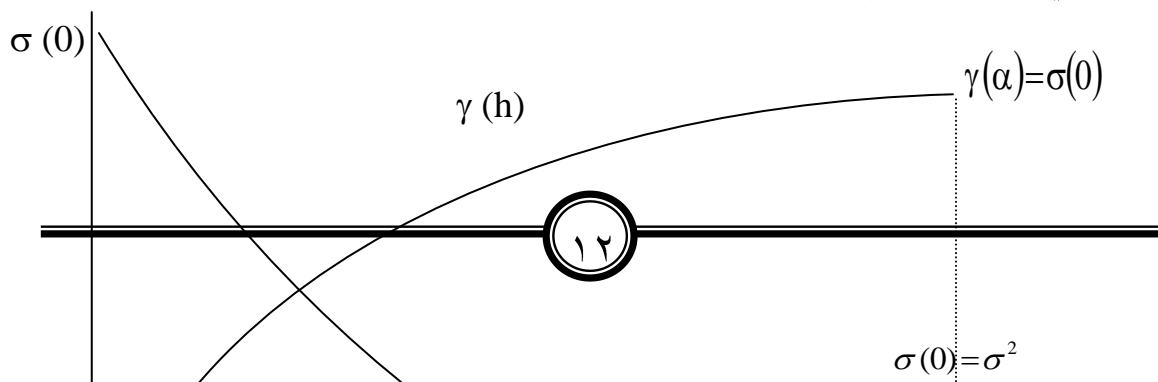
٤. دالة الفايروكرام و خواص المتغيرات العشوائية المكانية

Variogram Function and Properties of Regionalized Variables

لقد بينا سابقاً بان دالة الفايروكرام تمثل تباين الفروقات بين المشاهدات المكانية التي تبعد عن بعضها البعض مسافة h ، وانها ايضاً تمثل درجة استمرارية الظاهرة (معدن ، مياه جوفية ، تلوثات الجوية ، ... الخ) انظر Mohammed and Qassim (1997) تحت الدراسة بنية التغاير المكاني ضمن المنطقة المحددة لحدث الظاهرة وكلما ازدادت h بين المشاهدات كلما اصبح التغاير كبيراً حتى يستقر ارتفاعه عند مسافة معينة مثل $a = h$ وهذه المسافة a تسمى بالمدى وبعدها نلاحظ تلاشي التغاير في دالة الفايروكرام حيث يستقر بقيمة ثابتة تساوي تباين المشاهدات أي :

$$\lim_{h \rightarrow \infty} \gamma(h) = \sigma(0) = \sigma^2 \quad (2.8)$$

كما في الشكل (١) انظر Stien (1987) .



وهذا يفسر على انه خارج منطقة الدراسة أي انه لا يوجد تأثير للظاهره بعد المدى المحدد او يوجد بكميات صغيره جدا .

وعند اقتراب h من الصفر من الجهة اليمنى فان شبه الفايروكرام او الفايروكرام من المعادلة (٢.٤) يفترض ان يساوي صفرأ . الا انه احيانا لا يساوي صفرأ وانما سيكون له قيمة تساوي ψ_0 أي :

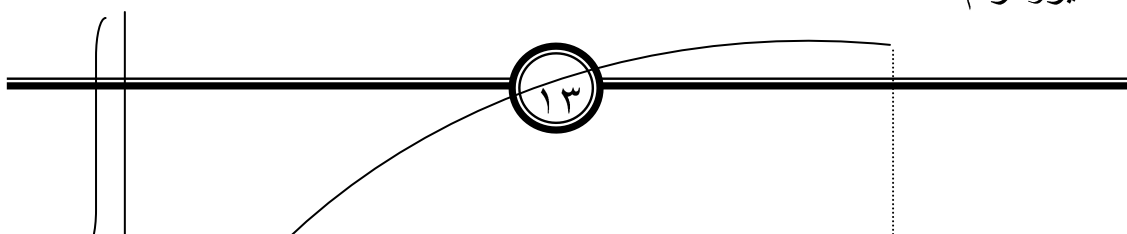
$$\lim_{h \rightarrow 0^+} \gamma(h) = \psi_0 \neq 0 \quad (2.9)$$

و عندئذ نقول ان هناك عدم استمرارية في نقطة الاصل (او ضعف في استمرارية الظاهره تحت الدراسة) ومقدار عدم الاستمرارية هو ψ_0 وهذه الظاهره في الاحصاء المكاني تسمى Nugget effect وهي الاخطاء العشوائيه في وحدات القياس عندما تتغير h فجأة من وحدات الملمتر الى وحدات المترا او الكيلومتر كما يحدث في مناجم الذهب انظر الشكل (٢) وفي حالة تساوي دالة الفايروكرام للتباين أي :

$$\gamma(h) = \sigma^2 \quad (2.10)$$

$$\sigma^2 = \psi + \psi_0$$

وتسمى σ^2 بالاسم sill ويعد احد معلمات Parameter التي تظهر في دالة الفايروكرام .



وهناك علاقة تربط بين التغير (h) ودالة شبه الفايروكرام (h) γ والتباين σ^2

$$\gamma(h) = \sigma(0) - \sigma(h) \quad (2.11)$$

حيث ان $\sigma(0) = \sigma^2$ الذي يمثل التباين

ويمكن برهنة العلاقة (٢.١١) بالاعتماد على خاصية المرحلية من الرتبة الثانية حيث نلاحظ من تعريف (h) في المعادلة (٢.٥)

$$\begin{aligned}
 2\gamma(h) &= \text{var} \{ z(x+h) - z(x) \} && (2.12) \\
 &= \text{var}(z(x+h)) + \text{var}(z(x)) - 2\text{cov}(z(x+h), z(x)) \\
 &= \sigma(0) + \sigma(0) - 2\sigma(h) \\
 &\quad (\text{خاصية المرحلية}) \quad \text{var}(z(x+h)) = \text{var}(z(x)) = \sigma(0) \\
 2\gamma(h) &= 2\sigma(0) - 2\sigma(h)
 \end{aligned}$$

أي

$$\gamma(h) = \sigma(0) - \sigma(h)$$

٢.٥ الفرضية الاساسية للمتغير المكاني

Intrinsic Hypotheses of Regionalized variable

العملية العشوائية المكانية Intrinsic $\{z(x), x \in D\}$ تكون اساسية اذا كان :

١- التوقع الرياضي موجود ولا يعتمد على الموقع x أي ان :

$$E\{z(x)\} = \mu, \quad \forall x \in D \quad (2.13)$$

٢- لجميع المسافات h فان الزيادة $\{z(x+h) - z(x)\}$ يكون لها تباين محدد ولا يعتمد على x أي ان :

$$\text{var}\{z(x+h) - z(x)\} = E\{[z(x+h) - z(x)]^2\} = 2\gamma(h) \quad (2.14)$$

أي وجود الفايروكرام . والفرضية الاساسية هي افتراض اضعف من الفرضية الاستقرارية . والفرضية الاساسية اكثـر ما تستخدم على الاغلب في الاحصاء المكاني . انظر Cressie (1986) .

٢.٦ نماذج دالة التغاير وشبـه الفايروكرام

Models of Functions of Covariance and Variogram

نتيجة الدراسات المتعددة والمتنوعة في الاحصاء المكاني فقد استطاع العلماء تحديد نماذج خاصة لدالة التغاير والفايروكرام بحيث ان منطقة D ما ، لها نموذج تغاير مختلف عما هو في منطقة اخرى مثل $*D$ وفيما يلي جدول (١) الذي يمثل نماذج مختلفة من دوال الفايروكرام .

جدول رقم (١) نماذج دوال الفايروكرام

| الصيغة | اسم النموذج | |
|-------------------------------|--------------------------------|---|
| $\gamma(h) = \psi_0 + \psi h$ | النموذج الخطـي Linear model | ١ |

الفصل الثاني

| | | |
|--|------------------------------------|---|
| $\gamma(h) = \begin{cases} \psi_0 + \psi & , \quad h > a \\ \psi_0 + \psi \left[\frac{3h}{2a} + \frac{1}{2} \left(\frac{h}{a} \right)^3 \right], & 0 < h \leq a \\ \psi_0 & , \quad h = 0 \end{cases}$ | النموذج الكروي spherical model | ٢ |
| $\gamma(h) = \psi [1 - \exp(-h^2 / 2a^2)]$ | نموذج كاووس Gaussian model | ٣ |
| $\gamma(h) = \psi_0 + \psi [1 - \exp(-h/a)]$ | النموذج الاسي Exponential model | ٤ |
| $\gamma(h) = 3a \log h$ | نموذج De wijsion | ٥ |

اذ ان ψ , ψ_0 , a , معلمات مجهولة تسمى مكونات التغاير او دوال شبه Journel and Huijbregts الفايروكرام للمتغيرات العشوائية المكانية . انظر (1978)

وقد اعتمدنا في الجدول (١) على نماذج الفايروكرام فقط لأن افتراض معرفة دالة التغاير ربما يكون حرجا لأن التباين في اغلب الدراسات العملية يكون غير معروف وفي هذه الحالة نستخدم الفرضية الاساسية Intrinsic hypotheses التي تعرفنا بدالة الفايروكرام فقط .

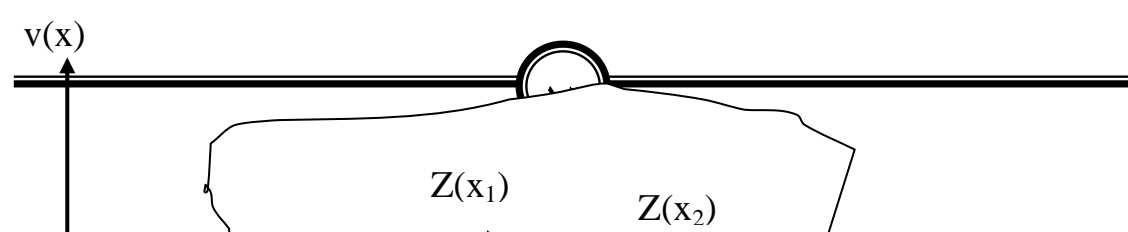
Prediction Methods

٢.٧ طرائق التنبؤ

Elementary Prediction

٢.٧.١ التنبؤ الابتدائي

التنبؤ Kriging هو كلمة مرادفة لمعنى التنبؤ الامثل عن العملية العشوائية المكانية $D \in R$, $\{z(x), x \in D\}$ او بمعنى اخر هي عمل استدلال Inference في موقع معينة في المنطقة D عن المتغير $z(x_0)$ في الموقع x_0 اعتمادا على القيم العشوائية في المنطقة D كما في الشكل (٣)



نفترض ان $i=1, 2, \dots, n, \forall x_i \in D, z_i = z(x_i)$

هي مشاهدات عند $x_i = (u_i, v_i)$ في المستوى

والمطلوب افضل تقدير للعملية $z(x)$ عند $x=x_0$ اذ ان x_0 نقطة جديدة

غير ملاحظة ان افضل مقدر خطى غير متحيز
Best linear unbiased
. $z(x)$ estimator

يدعى بمقدار كريك Kriging Estimator وله الشكل الاتي في

المعادلة (١.٣). Krige (1951).

وعادة نضع الفرضيات التالية للعملية $\{z(x), x \in D\}$

١- $\{z(x_0)\}$ عملية عشوائية مرحلية من الرتبة الثانية

. Second-order Stationarity

٢- $\{\sigma_z(x)\}$ ذات دالة التغایر (h) .

٣- $\sigma^2 = \sigma_z(0)$ التباين محدود Finite variance وعندما يكون σ^2 غير محدود

يمكن وضع الفرضيات الاساسية Intrinsic Hypotheses الاتية :

٤- العملية $\{z(x)\}$ ذات زيادة مرحلية من الرتبة الثانية أي بمعنى $\{z(x) - z(0)\}$

هي عملية مرحلية من الرتبة الثانية اذ ان $x=0$ نقطة محدودة .